

ВЫНУЖДЕННЫЕ КОЛЕБАНИЯ ПОТОКА ГАЗА С ЭНТРОПИЙНЫМИ ВОЛНАМИ

*Б. Ф. Гликман, В. А. Гурьев, Н. П. Тюрин, Н. Г. Чижова
(Москва)*

Газовый тракт с протоком газа — один из основных элементов энергетических установок (топки), двигателей (камеры сгорания), химических аппаратов и т. д. Если газ образуется на входе в тракт при сгорании топлива, при химической реакции или при смешении газов с разной температурой, то с изменением соотношения расходов составляющих, из которых получается газ, изменяется также его температура и состав. Порции газа с различной температурой и составом транспортируются вдоль тракта со скоростью газа, образуя энтропийные волны [1]. В отличие от акустических волн давления и скорости энтропийные волны при отсутствии рассеяния во всех случаях являются бегущими волнами, сохраняющими постоянную амплитуду при движении вдоль тракта. Вынужденные колебания потока в газовом тракте без энтропийных волн рассмотрены в работах [1, 2].

Наличие энтропийных волн наряду с акустическими приводит к существенному качественному изменению динамических характеристик газового тракта, которые являются исходными данными для анализа устойчивости процессов горения, при выборе системы автоматического регулирования и т. д.

1. Исходные уравнения

Примем, что газовый тракт имеет цилиндрическую форму, во входное сечение поступает газ с переменной температурой, в выходном сечении имеется местное сопротивление. Для случая относительно низких частот, когда длина энтропийной волны больше длины тракта, естественно предположение, что рассеянием энтропийных волн можно пре-небречь, т. е. что для каждого элемента в потоке газа соблюдаются условия адиабатичности.

Одномерное течение газа в цилиндрическом канале в отсутствии трения, теплообмена и диффузии, при малых отклонениях параметров описывается линеаризованными уравнениями [1]

$$\left. \begin{aligned} \frac{\partial \delta w}{\partial t} + w \frac{\partial \delta w}{\partial x} + \frac{\rho}{\rho w} \frac{\partial \delta p}{\partial x} &= 0; \\ \frac{\partial \delta p}{\partial t} + w \frac{\partial \delta p}{\partial x} + \frac{\rho w a^2}{\rho} \frac{\partial \delta w}{\partial x} &= 0; \\ \frac{\partial \delta s}{\partial t} + w \frac{\partial \delta s}{\partial x} - 0, \end{aligned} \right\} \quad (1.1)$$

где δw , δp , $\delta \rho$, δs — относительные вариации (отклонения) скорости, давления, плотности и энтропии газа, отнесенные (кроме δs) к их средним значениям; δs отнесена к теплоемкости C_p ; w , p , ρ — скорость, давление и плотность газа в невозмущенном потоке; a — скорость звука.

Динамические свойства системы характеризуются ее передаточной функцией, которая получается как частичное периодическое решение системы уравнений (1.1). Это решение имеет вид [1]

$$\delta w = \left(A e^{-\frac{i \omega x}{a+\omega}} + B e^{\frac{i \omega x}{a-\omega}} \right) \cdot e^{i \omega t};$$

$$\delta p = \frac{\rho \omega a}{p} \cdot \left(A e^{-\frac{i \omega x}{a+\omega}} + B e^{\frac{i \omega x}{a-\omega}} \right) e^{i \omega t}, \quad (1.2)$$

$$\delta s = C e^{-\frac{i \omega x}{\omega}} \cdot e^{i \omega t}.$$

Здесь $\delta w = \delta \bar{w} e^{i \omega t}$, $\delta p = \delta \bar{p} \cdot e^{i \omega t}$, $\delta s = \delta \bar{s} \cdot e^{i \omega t}$, где $\delta \bar{w}$, $\delta \bar{p}$, $\delta \bar{s}$ — амплитуды колебаний соответствующих параметров. Амплитуды — величины комплексные. Постоянные A , B , C определяются граничными условиями, которые имеет смысл записать в более общем виде. При этом необходимо учитывать, что в начале рассматриваемого газового тракта имеется зона формирования газового потока с достаточно сложными неравновесными процессами: химические реакции, фазовые переходы, горение, смещение струй газа с различной температурой и т. д. В связи с большим разнообразием этих процессов особенности их динамических характеристик в каждом конкретном случае необходимо рассматривать отдельно. В частности, некоторые особенности динамических характеристик процессов горения рассмотрены Б. В. Раушенбахом [1].

В общем случае энтропийные волны возникают в результате колебаний как температуры, так и состава (концентрации) газа. Ниже будет рассмотрен случай, когда энтропийные волны связаны с изменением температуры.

За начальное сечение газового тракта примем конец зоны формирования газового потока после окончания всех неравновесных процессов. Объемом этой зоны пренебрегаем. Граничные условия для начального сечения ($x=0$) получаем из уравнения неразрывности

$$\delta \bar{w} + \delta \bar{p} = \delta \bar{G}_1 + \delta \bar{T}_1 \quad (1.3)$$

и соотношения для вариации энтропии газа (при отсутствии колебаний состава газа)

$$\delta \bar{s} + \frac{\kappa - 1}{\kappa} \delta \bar{p} = \delta \bar{T}_1. \quad (1.4)$$

Здесь $\delta \bar{G}_1$ — амплитуда относительной вариации расхода газа в начале тракта; $\delta \bar{T}_1$ — амплитуда относительной вариации температуры газа в начале тракта; κ — показатель диабаты газа.

Третье граничное условие для выходного сечения тракта ($x=l$) в предположении, что протяженность местного сопротивления (до узкого сечения) существенно меньше длины тракта, находим из уравнения расхода газа через местное сужение потока

$$\delta \bar{w} + \frac{1}{2} \delta \bar{s} - \left(\frac{\kappa - 1}{2\kappa} - \alpha_h \right) \delta \bar{p} = \alpha_h \delta \bar{p}_h, \quad (1.5)$$

где $\delta \bar{p}_h$ — амплитуда относительной вариации давления за выходным сопротивлением (сужение, сопло) газового тракта; α_h — коэффициент расхода местного сопротивления на выходе из тракта; p , p_h — давление перед и за выходным сопротивлением. При критическом и сверхкритическом перепаде давления $\alpha_h=0$. Временем пробега энтропийных и акустических волн по длине выходного устройства, а также трением в нем пренебрегаем.

В качестве примера граничных условий рассмотрим условия в камере сгорания или топке. Пренебрегая временем рабочего процесса, т. е. процесса преобразования топливно-воздушной смеси в продукты сгорания, запишем в линеаризованном виде уравнение неразрывности для начального сечения ($x=0$) (первое граничное условие)

$$\delta \bar{w} + [1 - (\bar{G}_o - \Psi) \alpha_0] \delta \bar{p} = (\bar{G}_r + \Psi) \delta \bar{G}_r - \alpha_0 (\bar{G}_o - \Psi) \delta \bar{p}_o, \quad (1.6)$$

где

$$\bar{G}_o = \frac{G_o}{G_o + G_r}; \quad \bar{G}_r = 1 - \bar{G}_o = \frac{G_r}{G_o + G_r} -$$

относительные доли окислителя (воздуха) и горючего в продуктах сгорания; $\delta\bar{G}_o, \delta\bar{G}_r$ — амплитуды относительных вариаций соответствующих расходов; $\Psi = \frac{(G_o/G_r)}{T} \frac{\partial T}{\partial (G_o/G_r)}$; α_0 — коэффициент расхода для входного сопротивления (аналогичен коэффициенту расхода α_H , только рассчитывается по перепаду давления $\frac{p_o}{p}$); $\delta\bar{p}_o$ — амплитуда относительной вариации давления p_o ; p_o — давление окислителя (воздуха) перед входным сопротивлением.

Второе граничное условие:

$$\delta\bar{s} + \left(\frac{\varkappa - 1}{\varkappa} - \Psi \cdot \alpha_0 \right) \delta\bar{p} = -\Psi \cdot \delta\bar{G}_r - \Psi \cdot \alpha_0 \cdot \delta\bar{p}_o. \quad (1.7)$$

2. Передаточные функции системы

Подстановка граничных условий (1.3), (1.4) и (1.5) в решение (1.2) позволяет определить передаточную функцию системы для вариации давления в любом сечении газового тракта

$$\begin{aligned} \delta\bar{p}(x) = \frac{\varkappa M}{D} & \left\langle \left[\frac{\varkappa - 1}{2} Me^{-i\omega\tau_1} - \left[1 + \left(\frac{\varkappa - 1}{2\varkappa} - \alpha_H \right) \times \right. \right. \right. \\ & \left. \left. \left. \times \varkappa M e^{i\omega\tau''} \right] \right] [(\bar{G}_o + \Psi) \delta\bar{G}_o + (\bar{G}_r - \Psi) \delta\bar{G}_r] e^{-i\omega\tau_r} + \right. \\ & \left. + \frac{1}{2} \Psi (1 - \varkappa M) (\delta\bar{G}_o - \delta\bar{G}_r) e^{-i\omega(\tau_r + \tau_1)} + (1 - \varkappa M) \alpha_H \delta\bar{p}_H \right\rangle \times \\ & \times e^{-i\omega \frac{x}{a(1+M)}} - \frac{\varkappa M}{D} \left\langle \left[\frac{\varkappa - 1}{2} Me^{-i\omega\tau_1} + \left[1 - \left(\frac{\varkappa - 1}{2\varkappa} - \alpha_H \right) \varkappa M \right] \times \right. \right. \\ & \left. \left. \times e^{-i\omega\tau'} \right] [(\bar{G}_o + \Psi) \delta\bar{G}_o + (\bar{G}_r - \Psi) \delta\bar{G}_r] e^{-i\omega\tau_r} - \frac{1}{2} \Psi (1 + \varkappa M) (\delta\bar{G}_o - \right. \\ & \left. - \delta\bar{G}_r) e^{-i\omega(\tau_r + \tau_1)} - (1 + \varkappa M) \alpha_H \delta\bar{p}_H \right\rangle e^{i\omega \frac{x}{a(1-M)}}, \end{aligned} \quad (2.1)$$

где

$$D = (\varkappa - 1) \cdot M \cdot e^{-i\omega\tau_1} \left[\left(\frac{\varkappa - 1}{2\varkappa} - \alpha_H \right) \cdot \varkappa M - 1 \right] (1 - \varkappa M) \cdot e^{-i\omega\tau'} - \left[\left(\frac{\varkappa - 1}{2\varkappa} - \alpha_H \right) \cdot \varkappa M + 1 \right] (1 + \varkappa M) e^{i\omega\tau''}; \quad (2.2)$$

$$M = \frac{w}{a} — \text{число Maxa}; \quad \tau' = \frac{l}{(1+M)a}; \quad \tau'' = \frac{l}{(1-M)a}; \quad \tau_1 = \frac{l}{w}.$$

Для вариации температуры на выходе из тракта находим

$$\delta\bar{T}(l) = e^{-i\omega\tau_1} \cdot \delta\bar{T}_1 - \frac{\varkappa - 1}{\varkappa} [\delta\bar{p}(0) \cdot e^{-i\omega\tau_1} - \delta\bar{p}(l)]. \quad (2.3)$$

Решение (2.1) — (2.3) описывает динамические характеристики газового тракта с энтропийными (температурными) волнами в широком диапазоне частот. Наличие энтропийных волн приводит к существенному изменению уравнений для передаточных функций и соответственно к изменению формы кривых амплитудно-фазовых характеристик.

3. Приближенные зависимости

Формула для передаточной функции (2.1) из-за своей громоздкости существенно усложняет расчеты. Однако часто число Маха в тракте невелико, т. е. $M \ll 1$ и $\tau' \approx \tau''$. С другой стороны в ряде случаев при анализе устойчивости процесса или расчета динамических характеристик объекта ограничиваются диапазоном относительно низких частот, для которых можно пренебречь акустическими эффектами, т. е. распределенностью системы для колебаний давления и скорости. Однако необходимо учитывать, что так как в рассматриваемом случае

$$M \approx \frac{\tau'}{\tau_1} \ll 1,$$

то временем пробега энтропийных волн пренебрегать нельзя, т. е. нельзя отказываться от распределенности системы по отношению к энтропийным волнам.

Приняв $x = l$ и разложив в ряд экспоненциальные члены $e^{\pm i\omega\tau'} = 1 \pm i\omega\tau'$ в уравнении (2.1), находим упрощенное соотношение для вариации давления в конце газового тракта:

$$\left(\frac{i\omega\tau_1}{\kappa} - \frac{\kappa - 1}{2\kappa} + 1 - \alpha_H - \frac{\kappa - 1}{2\kappa} \cdot e^{-i\omega\tau_1} \right) \delta \bar{p} = \delta \bar{G}_1 + \delta \bar{T}_1 \times \\ \times \left(1 - \frac{1}{2} \cdot e^{-i\omega\tau_1} \right) - \alpha_H \cdot \delta \bar{p}_H. \quad (3.1)$$

При выводе уравнения (3.1) пренебрегли малыми членами, характеризующими инерцию столба газа в тракте

$$i\omega \frac{\rho\omega l}{p} = i\omega\kappa M^2 \cdot \tau_1,$$

благодаря чему упрощенное уравнение для амплитуды вариации давления в начале тракта $\delta \bar{p}(0)$ совпадает с уравнением для амплитуды вариаций давления в конце тракта (3.1).

4. Некоторые особенности частотных характеристик газового тракта с энтропийными волнами

При расчетах удобнее пользоваться безразмерной частотой $\theta = \omega\tau_1$, характерной для энтропийных волн. В этом случае безразмерные частоты, характерные для акустических волн

$$\omega' = \omega\tau' = \frac{M \cdot \theta}{1 - M}, \quad \omega'' = \omega\tau' = \frac{M \cdot \theta}{1 + M},$$

зависят от числа Маха. На рис. 1 представлены кривые амплитудных и фазовых характеристик газового тракта (камеры сгорания) при различных значениях числа Маха в потоке. Возмущающее воздействие — колебания расхода горючего $\delta \bar{G}_r$, коэффициенты: $G_r = 0,05$; $\alpha_0 = \alpha_H = 0$; $\Psi = -1$. Сравнение кривых показывает, что при $M = 0,1$ приближенное уравнение (3.1) вполне удовлетворительно описывает динамические характеристики тракта вплоть до частот, соответствующих $\theta = 10$. Это естественно, так как при таком значении θ безразмерная акустическая частота ω' достигает единицы. При больших значениях числа M кривая, рассчитанная по приближенной зависимости, заметно отклоняется от кривых точного решения, причем для $M = 0,25$ это отклонение появляется при $\theta = 2,5 \div 3$, а для $M = 0,5$ — при $\theta = 1 \div 1,5$. Эти значения соответствуют безразмерной акустической частоте $\omega' \sim 1 \div 1,5$.

Расчеты проводились для фиксированных значений $\tau_1=0,01$ с и скорости звука $a=500$ м/с. При изменении числа Маха скорость газа и соответственно (чтобы обеспечить одинаковые значения τ_1) длина газового тракта. За счет этого изменяются значения θ , соответствующие резонансным частотам.

В результате взаимодействия акустических и энтропийных волн резко изменяется

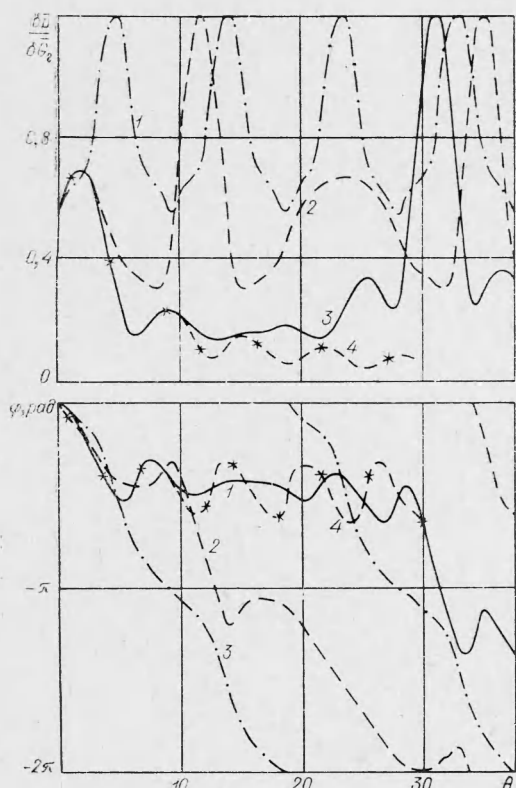


Рис. 1. Амплитудные и фазовые частотные характеристики газового тракта с энтропийными волнами при различных значениях числа Маха:

1 — 0,1; 2 — 0,25; 3 — 0,5; 4 — расчет по (3.1).

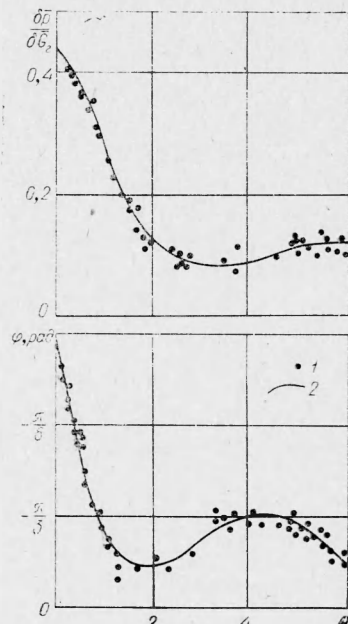


Рис. 2. Результаты экспериментального исследования динамических характеристик тракта.

вид амплитудных частотных характеристик по сравнению с аналогичными характеристиками тракта без энтропийных волн. Нарушается регулярность повторения резонансных максимумов, на кривых амплитудных и фазовых характеристик появляются «волны» с периодом (по частоте), обратно пропорциональным времени прохождения тракта энтропийными волнами¹ τ_1 .

5. Результаты экспериментов

В газовый тракт экспериментальной установки независимо подавались два газа с различной температурой 300 и 780 К. На выходе из магистрали холодного газа с помощью газового пульсатора вносились гармонические возмущения по расходу. Горячий и холодный воздух подавались в тракт через решетку с большим числом отверстий, на которых обеспечивался сверхкритический перепад давления, что исключило обратное влияние колебаний давления в тракте на расходы газов через решетку. Пульсации давления в тракте и после пульсатора из-

¹ В нашем случае $\tau=0,01$ с и соответствующий период этих волн $\Delta\theta \approx 6$, т. е. близок к значению 2π .

мерялись с помощью малоинерционных индуктивных датчиков давления. Во время экспериментов был пройден диапазон частот 0—50 Гц.

В газовом тракте устанавливалось течение смеси со средней температурой $T_{\text{см}}=520$ К и скоростью $w=70$ м/с. При этом $M=0,15$, $\Psi=-0,26$, $G_r=0,57$. Длина газового тракта $l=1,47$ м. Расстояние от решетки до датчика, измерявшего пульсации давления в газовом тракте, равно $l/2=0,73$ м.

Результаты экспериментов в виде амплитудных и фазовых частотных характеристик представлены на рис. 2, 1; кривая 2 — результаты расчета частотных характеристик по формуле (2.1). Сопоставление приведенных на рис. 2 расчетных кривых с экспериментальными точками показывает, что результаты экспериментов подтверждают методику расчетов в области безразмерных частот θ от 0 до 6,3.

Поступила в редакцию
15/X 1974

ЛИТЕРАТУРА

1. Б. В. Раушенбах. Вибрационное горение. М., Физматгиз, 1961.
2. К. С. Колесников. Изв. АН СССР, Механика и машиностроение, 1963, 4.

УДК 541.124

КИНЕТИКА КОЛЕБАТЕЛЬНО-ПОСТУПАТЕЛЬНОГО ОБМЕНА ДВУХАТОМНЫХ МОЛЕКУЛ — АНГАРМОНИЧЕСКИХ ОСЦИЛЛЯТОРОВ В СРЕДЕ ИНЕРТНОГО ГАЗА

М. Н. Сафарян, О. В. Скребков

(Москва)

Вопрос о роли ангармоничности в колебательной релаксации двухатомных молекул, в частности в кинетике колебательно-поступательного $V-T$ -обмена, рассматривался в ряде работ. Это в определенной степени было вызвано результатами экспериментов по колебательной релаксации в расширяющихся газовых потоках и обнаружению в первых работах существенного различия между величинами времени колебательной релаксации, измеренными в экспериментах на ударных трубах и в соплах [1—3].

Роль ангармоничности в кинетике $V-T$ -обмена теоретически рассматривалась в двух предельных случаях взаимодействия осцилляторов с термостатом: в квантово-механическом варианте расчета для адиабатического ($\xi_0 \gg 1$, ξ_0 — параметр адиабатичности) [4, 5] и в рамках диффузионной теории для неадиабатического ($\xi_0 \rightarrow 0$) [6] взаимодействия. Между тем в расширяющихся потоках, ударных волнах, при оптической или химической накачке высоковозбужденных состояний реализуются и промежуточные по параметру адиабатичности случаи взаимодействия, тем более что характер этого взаимодействия зависит не только от температуры и давления газа, но и от степени возбуждения осцилляторов.

Полученное в [7] диффузионное кинетическое уравнение для функции распределения ангармонических осцилляторов позволяет детально исследовать роль ангармоничности в кинетике $V-T$ -обмена при произвольном значении параметра адиабатичности. Результаты такого исследования для широкого интервала ξ_0 и степени начального возбуждения молекул (для начальных больцмановского и инверсного распределений) приведены в данной работе.